

京大原子炉実験所 正員 工博 筒井天尊

工博 金川 昭

金川 昭

正員

○下浦一邦

放射性廃液を薦發濃縮処理する際、薦昇流に同伴する放射性の微小液滴を洗浄分離する装置として(A)、塔径 124 mm^{ϕ} の多孔板実験塔、および、(B)、京大原子炉廃液処理装置(処理能力 500 kg/hr)に設置した塔径 1050 mm^{ϕ} 、5段の多孔板懸沫分離塔、を用いた場合の除染性能を水銀測定したので報告する。

[I]. 装置の概要、 Table 1. に (A), (B) の主要寸法を示す。Fig 1. は実験装置の概要を示すもので、多孔板駆駆塔 (A) は高さ 10 cm , と 5 cm のステンレス製円筒を多孔板をはさんで構成したものである。Fig 2. に (B) の場合の Flow-sheets を示す。この処理装置の概要についてはすでに報告を行った。¹⁾

Table 1

	(A)	(B)
Column I.D	124	1,050
Plate Spacing	100	250
" Thickness	2	5
Hole Number	550	1,700
" Diam.	1.2	3.0
Weir Height	10	20 (mm)

[II] 実験の方法

i) (A)の場合、飽和水蒸気を一定時間率で塔に供給し最下段の多孔板(記号0)上でTracer液と接触させ、蒸気流に微小液滴を同伴せし。この微小液滴が上部の多孔板還流液中に捕集され割合を系の物質收支より求めた。測定は蒸気量、段間隔($S': \text{cm}$)と実数として行い、各段毎の除染係数(DF_n)は段間隔中で上昇する蒸気流の見かけのTracer濃度($y_n: \text{ppm}$)の比として算出した。

ii) (A)の場合、段上で生成する泡沫量とその捕集性能が段番号によって変化しないことを確認する目的で、第0段と、第1段に異なる試験液を流し、i)と同様の測定を行った。

iii) (B)の場合、蒸発量と液面、および試験液濃度を一定に保つ操作条件で蒸発量を変えた場合の多孔板塔除沫器性質を測定した。

諸頂からの還流液としては蒸留水を用い、試験溶液としては(A)の場合、1) LiCl溶液(Li⁺ ~10⁻⁴ ppm), 2) ユラニル溶液(~10⁻³ ppm), 3) ~0.5 μCi/ml の放射性尿素(Na₂CO₃, 1.3₃ を原子炉下照射(1MW-30分)したものと20ℓの蒸留水に溶解したもの) (B)の場合、Sr(NO₃)₂溶液(Sr²⁺: 10⁻⁵ ppm)一定時間毎に各段上、および凝縮液からSampleをとり分析(QV-50) ユラニンの分析には微量蛍光光度計(島津コタシンケレータ(1 3/4" x 2")を検出端とする「線スペク

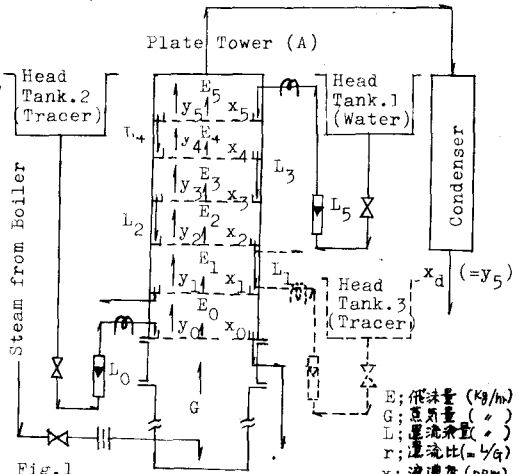


Fig.1

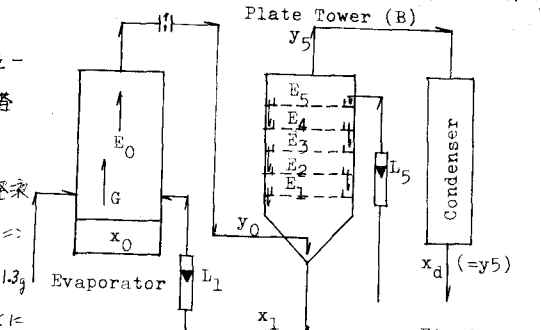


Fig. 2

[III]. DF の計算式. 定常状態における Tracer 成分についての物質収支より

$$L_n X_n + X_d (G + E_N) = E_{n-1} X_{n-1} + E_{n-2} X_{n-2} f_{(n-2)(n-1)} + \dots + E_0 X_0 f_{(n-1)}, \quad (n=1, 2, \dots, N) \quad \dots (1)$$

$$X_d (G + E_N) = E_n X_n + E_{n-1} X_{n-1} f_{(n-1)-N} + \dots + E_0 X_0 f_{(n-1)}, \quad \dots (2) \quad E_n = E_0 (1 + f_{(n-1)-n} + f_{(n-2)-n} + \dots + f_{0-n}), \quad \dots (3)$$

$$L_n = L_{n+1} - (E_n - E_{n-1}), \quad \dots (4) \quad \text{を得る。} \quad y_n = [L_{n+1} X_{n+1} + X_d (G + E_N)] / (G + E_n), \quad y_N = X_d \quad \dots (5) \quad \text{とす}$$

3とオル段の除染係数 $(DF)_n$ は $(DF)_n = y_{n-1} / y_n, \quad \dots (6)$ で示される。 $G + E_n > E_n, \quad L_n \neq L_i, \text{ 且} E_n \neq E_0, \quad f_{ij} \neq f_{ij}(y-i); \dots (7)$ の条件で実測値を上式に代入して E_n, f_{ij} を計算し $(DF)_n$ を求めた。

二つめ f_{ij} は微小液滴が $(y-i)$ 段を通過して通過する分率を示す。(B) の場合、 $E_0 < E_n (n=1, 2, \dots, 5)$ の $T^* E_n$ は Hunt 等³⁾ の式より計算した値を用いた。

[IV]. 結果. Fig.3 は Li と Tracer として (A) の測定結果を示す。この場合 $(DF)_1$ の最大値は 10 度以下で、この値を示す V_1 の値は S に対応して変化する。一方 $S=10$ については ^{24}Na は $V_1=5$ と測定結果と比較を行なう。(DF)₁ の値がほぼ一致することを確認した。Fig.4 は f_{01}, f_{02} を示す。 f_{01} の値は V_1 が 10 大にかかっても数% 以下で多孔板における優れた捕集性能を示す。

しかし f_{02} の値は f_{01} の 10% で二つの傾向は f_{03}, f_{04} についても同様である。これは一級を通過して微小液滴はかなりの分率で上部の各段を通過することを示す。上段に到達する液体の分布は $V_1 < \sim 0.5\%$ では少しが大になるとほど微小粒度のものが多くなって f_{01} の値が若干増加する。しかし $V_1 \sim 0.6\%$ では f_{03} と f_{04} は S に関する傾向を示す。

$(D.F)_1$ の値は $(D.F)_1 \approx 1 / (f_{01} + E_1 / E_0)$ より $(D.F)_1$ が一定値を示す。Fig.5 は $(D.F)_1$ が $x_1/x_0, f_{01}$ の計算値。おおむね $S=10, V_1=0.4$ の条件で、 $r=0.2, 0.3, 0.45$ の値を示す。この値から f_{01} の値が下り増加で若干減りすることが分かる。Fig.6 は (B) の場合の $(D.F)_{1,2,3,4}$ を示す。

$V_1=0.52$ に対する $(D.F)_1$ の値は V_2 が大で一段上段との機械的接触効率が低下したためと考えられる。 $(D.F)_{2,3,4}$ の値は (A) と同様。 $(D.F)_1$ は比べて小さい。ii) の場合、Tracer に用いた Li とウラニル酸銀との平衡時ににおける物質収支を計算して f_{01}, f_{02} が E_0, E_1 の値がそれぞれほぼ一致すること、および、Tracer 每に算出した $(D.F)_1, (D.F)_2$ が (i) と同傾向を示すことを確認した。

[V] あとがき。多孔板上で空気と水が接触して生成する液体液滴に関する実験的相関が多く発表されているが、著者一水系での測定結果は少い。我々は各段毎の (DF) を段間隔および塔高を変化させて測定し、多段の場合の除染特性をあらわした。

1) 筑井、土木学会年次学術講演会要集 (II-164) ('66) 2) 三石他 日本原子力学会誌 3 679 ('61), ibid 5 787 ('62)
文献: 3) C. d'A Hunt et al: A.I.Ch.E. Journal 1 441. ('55)